

# UNIVERSIDAD DE BUENOS AIRES

## FACULTAD DE INGENIERÍA



### Trabajo Práctico N° 4

Robótica (85.15)

GENERACIÓN DE TRAYECTORIAS

#### Integrantes:

Vera Guzmán, Ramiro Augusto - ramiro.vera.g@gmail.com - #95887

Eicheinbaum, Daniel Matias - leinaxd@gmail.com - #95233

# 1. Introducción

El objetivo del presente trabajo consiste en desarrollar algoritmos de generación de trayectorias basados en un robot SCARA. Cabe destacar los algoritmos serán pensados para ser ejecutados en tiempo real para realizar trayectorias tipo *joint* y cartesianas. El enunciado del mismo sera presentado al final del documento.



Figura 1: Robot SCARA

Abuso de notación: En el presente trabajo se trabajó con posiciones, velocidades y aceleraciones. Por comodidad, si la posición se denomina  $q$ , la velocidad se denominará  $\dot{q}$  haciendo referencia a la expresión mecánica de la velocidad y la misma idea se aplicará a la aceleración como  $\ddot{q}$ .

## 1.1. Ejercicio 1

El objetivo del punto es a partir de una entrada de la forma

$$POSE0 = [x0; y0; z0; Roll; conf]^t \quad (1)$$

obtener los parámetros  $q$  del SCARA.

Para desarrollar el algoritmo pedido se partió del problema inverso del SCARA (desarrollado previamente).

Dado que el problema inverso utiliza la posición cartesiana y los elementos de la matriz de rotación, bastaba con modificar el calculo pero sustituyéndolo por el parámetro *Roll* Sabiendo que *Roll* representa la rotación de la herramienta respecto al origen ; *Roll* es la suma de los parámetros  $q_1$ ,  $q_2$  y  $q_4$  por lo que basta modificar el problema inverso para obtener el resultado.

El algoritmo, denominado *tp4\_punto1.m*, es ejecutado y puesto a prueba en el archivo a primera sección de *main.m*

Se muestra el contenido de *tp4\_punto1.m*

```
1 %%TP4 – Punto 1
2 %ATENCION: POSE0 tiene el parametro de ROLL en grados. El parametro de
3 %salida q esta en radianes. Sin embargo se imprime al final la conversion
4 %en grados para facil chequeo.
5
6 function q = tp4_punto1(POSE0, conf)
7 %Tipo de Robot : Scara
8 %Parametros
9 a1 = 200; %mm
10 a2 = 200; %mm
11 a = [a1, a2];
12
13 %POSE0 = [x0; y0; z0; Roll; conf]^T
```

```

14 % Tanto x0,y0,z0 deben estar en mm
15 % Roll debe estar en grados
16 p = POSE0(1:3);
17 Roll = POSE0(4);
18
19 %% Inversa de Scara
20
21 %% Obtengo q2
22 if (p(1)^2+p(2)^2 > (a1+a2)^2 || p(1)^2+p(2)^2 < (a1-a2)^2 )
23     disp('Punto no alcanzable')
24     q = NaN;
25     return
26 end
27
28 c2 = ( p(1)^2+p(2)^2-(a1^2+a2^2) )/(2*a1*a2);
29 s2 = conf(1)*sqrt(1-c2^2);
30
31 %%%%%%%%%%%%%%%%%%%%%%%%%%%%%%%%%%%%%%%%%
32 q(2) = atan2(s2,c2);
33 %%%%%%%%%%%%%%%%%%%%%%%%%%%%%%%%%%%%%%%%%
34
35 if (abs(q(2))<10^-10)
36     q(2)=0;
37 end
38 %% Obtengo q1
39 if ( p(1)==0 && p(2)==0 )
40     disp('Punto no alcanzable')
41     q = NaN;
42     return
43 end
44
45 s1 = ( a2*(p(2)*c2 - p(1)*s2) + a1*p(2) )/(p(1)^2 + p(2)^2);
46 c1 = ( a2*(p(2)*s2 + p(1)*c2) + a1*p(1) )/(p(1)^2 + p(2)^2);
47
48 %%%%%%%%%%%%%%%%%%%%%%%%%%%%%%%%%%%%%%%%%
49 q(1) = atan2(s1,c1);
50 %%%%%%%%%%%%%%%%%%%%%%%%%%%%%%%%%%%%%%%%%
51
52 if (abs(q(1))<10^-10)
53     q(1)=0;
54 end
55 %% Obtengo q3
56
57 %%%%%%%%%%%%%%%%%%%%%%%%%%%%%%%%%%%%%%%%%
58 q(3) = p(3);
59 %%%%%%%%%%%%%%%%%%%%%%%%%%%%%%%%%%%%%%%%%
60
61 if (abs(q(3))<10^-10)
62     q(3)=0;
63 end
64 %% Obtengo q4
65
66 %%%%%%%%%%%%%%%%%%%%%%%%%%%%%%%%%%%%%%%%%
67 q(4) = deg2rad(Roll) -q(1) -q(2);
68 %%%%%%%%%%%%%%%%%%%%%%%%%%%%%%%%%%%%%%%%%
69 if (abs(q(4))<10^-10)
70     q(4)=0;
71 end
72
73 qgrad = [rad2deg(q(1:2)),q(3),rad2deg(q(4))];
74
75 disp('Los valores obtenidos de q (rad) son:')
76 disp(q)
77 disp('Los valores obtenidos de q (deg) son:')
78 disp(qgrad)
79
80
81 %% Analisis topes mecanicos
82
83 % Analisis topes Mecanicos
84
85 if ( q(2) < deg2rad(-150) ) || ...
86     ( q(2) > deg2rad(150) ) || ...
87     ( q(3) < -250 ) || ...
88     ( q(3) > -50 )
89
90     disp('El robot llego a su tope mecanico')
91     if ( q(2) < deg2rad(-150) )
92         disp(['q2 se fija en -150 grados'] )
93         q(2) = deg2rad(-150);

```

```

94     end
95     if ( q(2) > deg2rad(150) )
96         disp(['q2 se fija en 150 grados'])
97         q(2) = deg2rad(150);
98     end
99     if( q(3) < -250 )
100         disp(['q3 se fija en -250 mm'] )
101         q(3) = -250;
102     end
103     if ( q(3) > -50 )
104         disp(['q3 se fija en -50 mm'] )
105         q(3) = -50;
106     end
107 end
108
109 end

```

## 1.2. Ejercicio 2

El ejercicio 2 pedía realizar una trayectoria con interpolación *joint* entre 2 posiciones dadas como

$$POSEA = [-200; 200; -100; 0; 1]^t \quad (2)$$

$$POSEB = [200; 200; -200; 90; 1]^t \quad (3)$$

de manera que el robot comience en la POSEA pase por la POSEB y regrese a la POSEA.

Se ejecuto el algoritmo anterior para obtener los parámetros  $q$  asociados a las poses,  $q_a$  y  $q_b$  y luego de eso se aplico el algoritmo visto en la cátedra, desarrollado en el archivo ***tp4\_punto2.m***. Cabe mencionar que el algoritmo es capaz de ejecutarse en un sistema de tiempo real.

El mismo esta puesto a prueba en la sección dos del archivo ***main.m***. Se adjunta el codigo ***tp4\_punto2.m*** seguido de las imágenes asociadas al mismo.

```

1  %% TP4 - Punto 2
2
3
4  function [q, qdot, qddot, sameSegment, Tj] = tp4_punto2(tseg, A, B, C, td, Ts, tacc)
5      sameSegment = true;
6
7      if tseg == -tacc
8          setTj(0);
9      end
10
11      Tj = getTj;
12
13      DA = A-B;
14      DC = C-B;
15
16      if tseg >= (Tj - tacc)
17
18          vq1max = 90;
19          vq2max = 180;
20          vq3max = 1000;
21          vq4max = 360;
22          vmax = [vq1max, vq2max, vq3max, vq4max]';
23
24          % Como tengo todo en ms divido vmax por 1000
25          Tj = max( [max(abs(DA./(vmax / 1000))), 2*tacc, td] );
26          Tj = ceil(Tj/Ts)*Ts;
27          setTj(Tj);
28
29      end
30
31      tp = tseg + tacc;
32      tm = tseg - tacc;
33      DCT = DC / Tj;
34      DAT = DA / tacc;
35
36      if tseg <= tacc

```

```

37
38     qddot = ( DCT + DAT )/(2*tacc);
39     qdot = ( DCT*tp + DAT*tm )/(2*tacc);
40     q      = ( DCT * tp^2 + DAT * tm^2)/(4*tacc) + B;
41
42     elseif tseg <= Tj - tacc + Ts
43         qddot = zeros(size(B));
44         qdot = DCT;
45         q      = DCT * tseg + B;
46
47         if tseg == Tj - tacc + Ts
48             sameSegment = false;
49         end
50     else
51         disp('Inesperado')
52     end
53 end
54

```

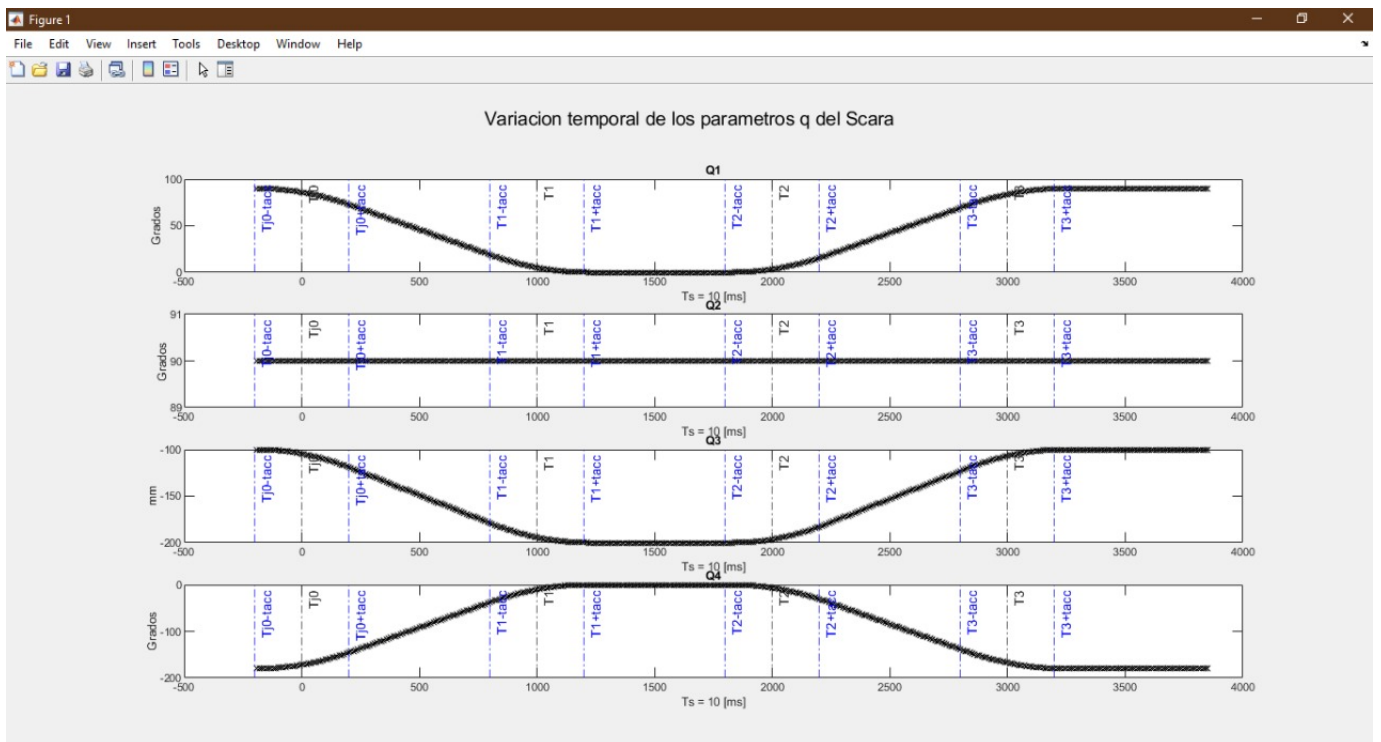


Figura 2: Parámetros Q para movimiento Joint

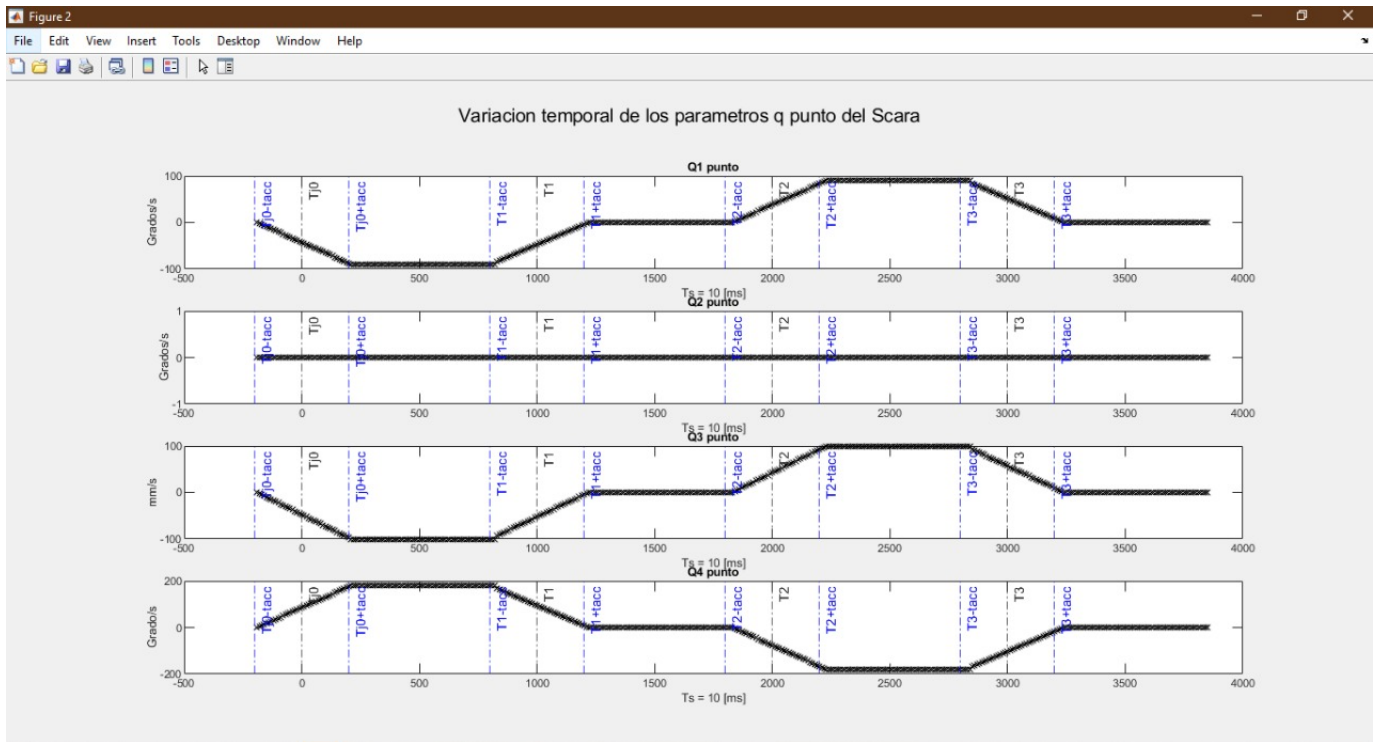


Figura 3: Parámetros Q para movimiento Joint

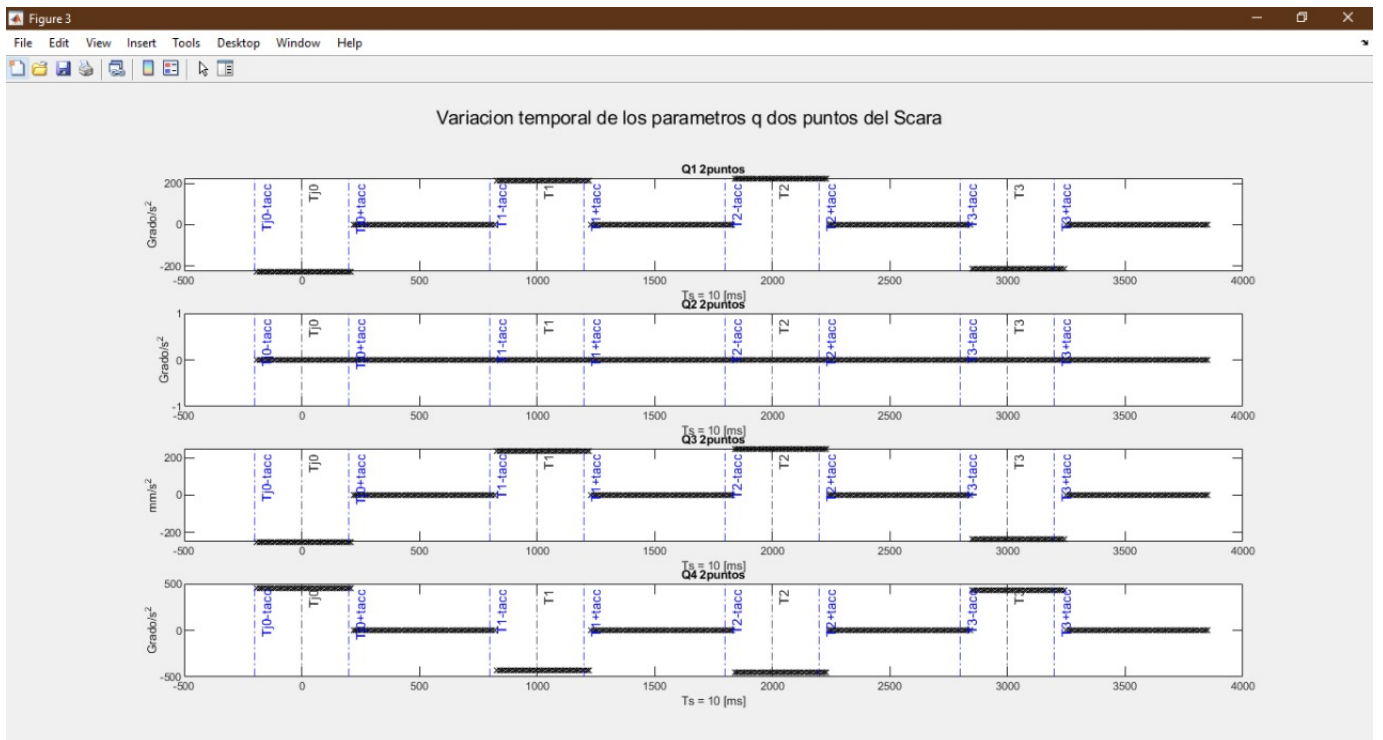


Figura 4: Parámetros Q para movimiento Joint

Se aprecian que las formas de  $Q$ ,  $\dot{Q}$  y  $\ddot{Q}$  siguen las formas acordes al Metodo de Paul. Además cabe destacar que  $\dot{q}_1$  (la velocidad de  $q_1$ ) se ajusta a la velocidad máxima admisible ( $90^\circ/\text{seg}$ ) y esta es la limitante entre las demás velocidades, mostrando que el algoritmo cumple los objetivos de suavizar los movimientos, limitar las velocidades y evitar los impulsos.

La trayectoria final resulta un movimiento *joint*. Es interesante notar que el movimiento no tiene por que ser perfectamente circular, puesto que solo pedía ser necesario tocar la POSEA

y POSEB que si lo realiza.

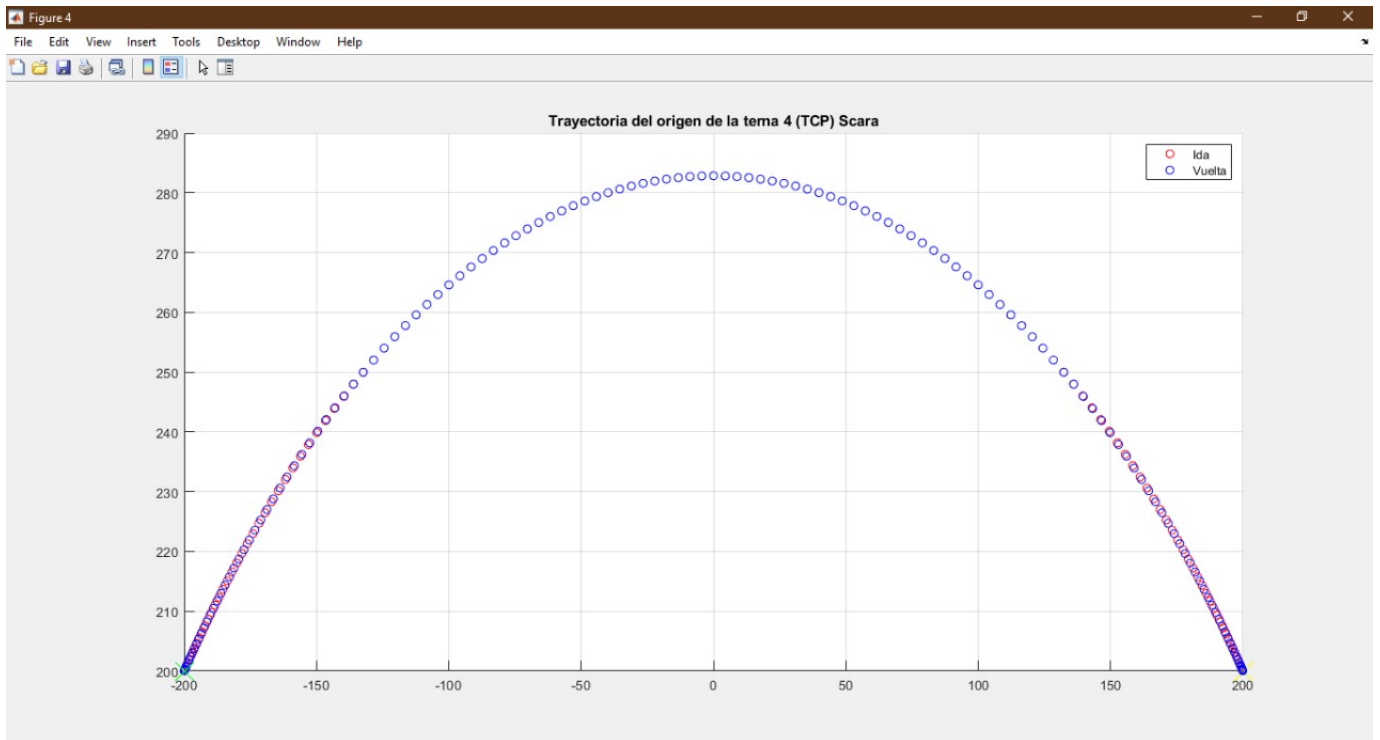


Figura 5: Trayectoria joint entre las posiciones

### 1.3. Ejercicio 3

El ejercicio 3 pedía realizar un movimiento de tipo cartesiano basado en la información del punto 2.

Para realizar este algoritmo se utilizó la interpolación *joint* pero no sobre los parámetros  $q_a$  y  $q_b$  sino que sobre las mismas poses en sí. Para ello fue necesario modificar el algoritmo de interpolación, como se explica en las diapositivas de las cátedras.

Se hicieron cambios adicionales teniendo en cuenta que el cálculo de  $T_j$  implica una competencia entre tiempos y dependiendo el parámetro a interpolar se debe corregir lo asociado a  $v_{max}$ . En el interpolador *joint* se realizaba  $DA./v_{max}$  puesto que se hacía  $q/q_{dot} = t$  en cada elemento. En este interpolador es necesario obtener las velocidades máximas cartesianas para obtener los tiempos cartesianos mínimos.

Para ello se obtuvo la matriz jacobiana del SCARA<sup>1</sup> según la terna 0. Luego, a partir de la pose A y pose B se obtuvieron con el primer algoritmo los parámetros  $q$  de ambas poses y así los jacobianos asociados a dichas poses. Bastó simplemente realizar la operación  $J.v_{max}^t$  para obtener las velocidades cartesianas máximas. Como criterio se optó por tomar el mínimo entre ambas.

El código puede verse en el archivo *tp4\_punto3.m* y puesto a prueba en la sección 3 del archivo *main.m*.

Se adjunta *tp4\_punto3.m* y los resultados obtenidos

<sup>1</sup> %% TP4 — Punto 3  
<sup>2</sup>

1. <https://thydzik.com/academic/robotics-315/chap5.pdf> pag. 20

```

3
4 function [q,qdot,qddot,sameSegment,POSEActual,Tj] = tp4_punto3(tseg,A,B,C,td,Ts,tacc,qant,
   qdotant,maxCartesianV)
5
6 %Armo DBA(-tacc)
7 DBA = B\A;
8 RBA = DBA(1:3,1:3);
9 pBA = DBA(1:3,4);
10 %Obtengo angulos de Euler
11 %sol1=[phi1,theta1,psi1];
12 sol1 = getEulerAnglesfromR(RBA,'ZYZ',0);
13 phiBA = sol1(1);
14 thetaBA = sol1(2);
15 psiBA = sol1(3);
16 %Armo ThetaA
17 ThetaA = [pBA;thetaBA;psiBA];
18 %Armo DBC(Tj)
19 DBC = B\C;
20 RBC = DBC(1:3,1:3);
21 pBC = DBC(1:3,4);
22 %Obtengo angulos de Euler
23 %sol1=[phi1,theta1,psi1];
24 sol1 = getEulerAnglesfromR(RBC,'ZYZ',0);
25 phiBC = sol1(1);
26 thetaBC = sol1(2);
27 psiBC = sol1(3);
28 %Armo ThetaC
29 ThetaC = [pBC;thetaBC;psiBC];
30 %Armo ThetaB
31 ThetaB = zeros(size(ThetaC));
32
33
34 %Idem interpolacion joint pero modificado para poner phi
35 sameSegment = true;
36 if tseg == -tacc
37     setTj(0);
38 end
39 Tj = getTj;
40
41 DA = ThetaA;
42 DC = ThetaC;
43
44 if tseg >= (Tj - tacc)
45
46     % vq1max = 90;
47     % vq2max = 180;
48     % vq3max = 1000;
49     % vq4max = 360;
50     % vmax = [vq1max,vq2max,vq3max,vq4max]';
51
52     %Como tengo todo en ms divido vmax por 1000
53     vmax = [maxCartesianV(1:3)',deg2rad(vq4max),deg2rad(vq4max)]';
54     Tj = max([max(abs(DA./(vmax / 1000))),2*tacc,td]);
55     %Tj = max([2*tacc,td]);
56     Tj = ceil(Tj/Ts)*Ts;
57     setTj(Tj);
58
59 end
60
61 tp = tseg + tacc;
62 tm = tseg - tacc;
63 DCT = DC /Tj;
64 DAT = DA /tacc;
65
66 if tseg <= tacc %Zonal
67
68     %ThetaDDot = ( DCT + DAT )/(2*tacc);
69     %ThetaDot = ( DCT*tp + DAT*tm )/(2*tacc);
70     Theta = ( DCT .* tp^2 + DAT .* tm^2)/(4*tacc);
71     Phi = ( phiBC - phiBA )*tp/(2*tacc) + phiBA;
72
73
74 elseif tseg <= Tj - tacc + Ts %Zona2
75     %ThetaDDot = zeros(size(B));
76     %ThetaDot = DCT;
77     Theta = DCT .* tseg;
78     Phi = phiBC;
79
80     if tseg == Tj - tacc + Ts
81         sameSegment = false;

```



```

82     end
83 else
84     disp('Inesperado')
85 end
86
87 %Armo D
88 R = getRfromEulerAngles([Phi, Theta(4,1), Theta(5,1)], 'ZYZ');
89
90 D(1:3,1:3) = R;
91 D(1:3, 4) = Theta(1:3);
92 D( 4 ,1:3) = [0,0,0];
93 D( 4 , 4) = 1;
94
95 %Obtengo Pose actual
96 POSEActual = B*D;
97
98 %A partir del problema cinematico inverso obtengo q
99 q = Inv_SCARA(POSEActual,1,0,[200,200]);
100
101 qdot = ( q - qant )/Ts ;
102 qddot = ( qdot - qdotant )/Ts;
103
104 end

```

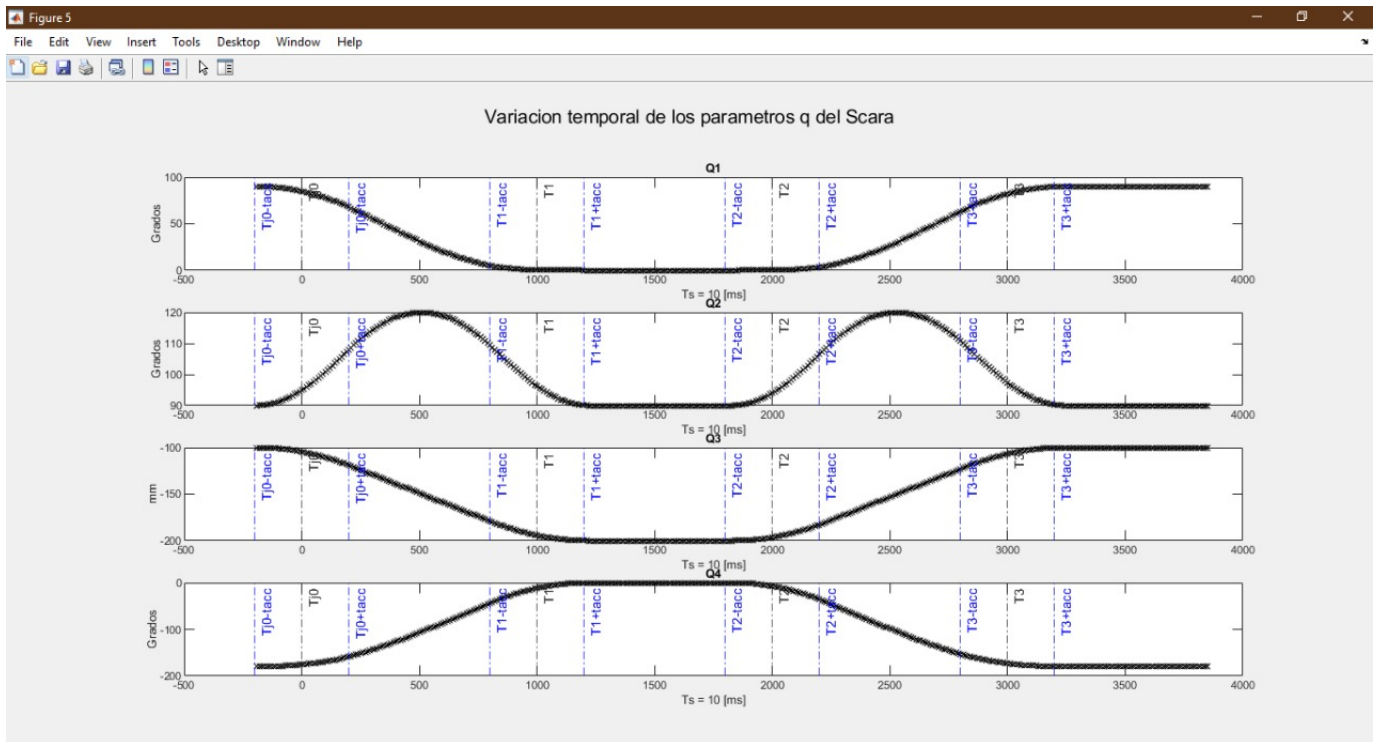


Figura 6: Parámetros Q para movimiento Cartesiano

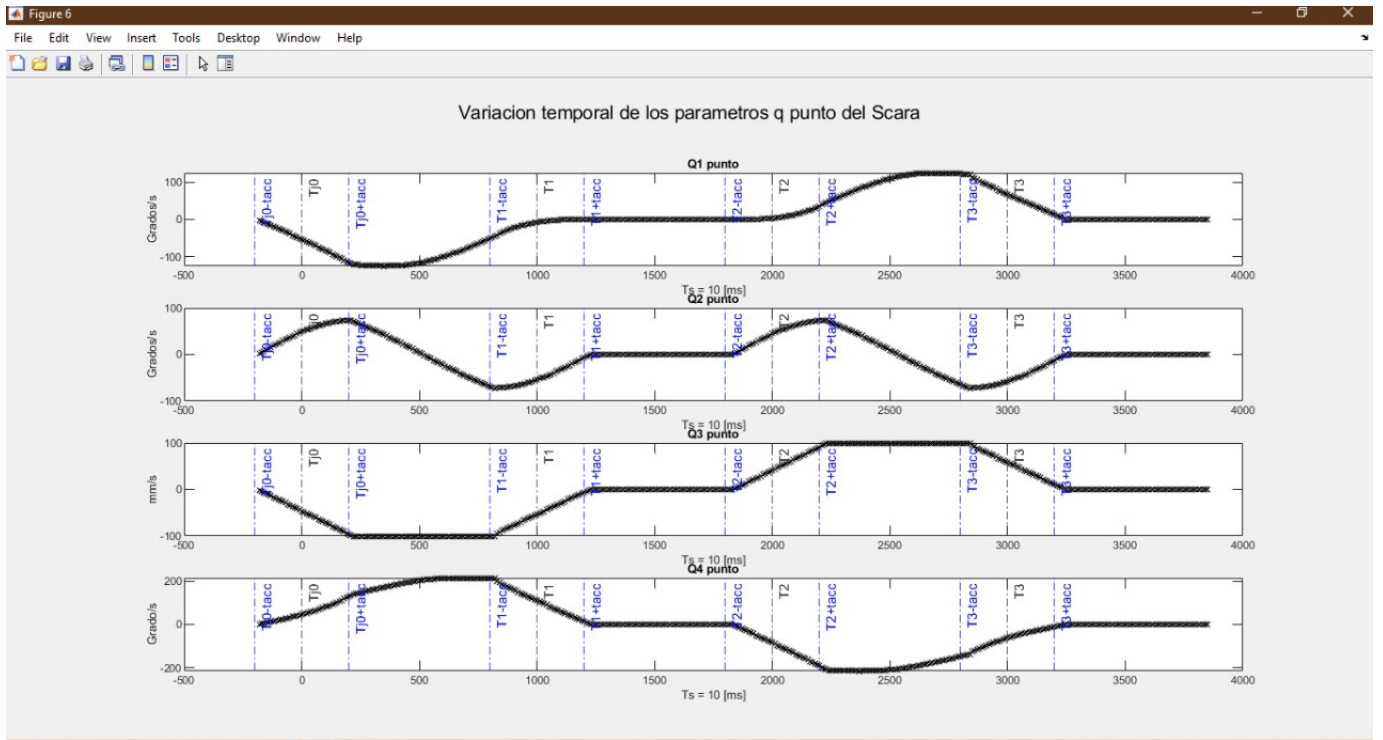


Figura 7: Parámetros  $\dot{Q}$  para movimiento Cartesiano

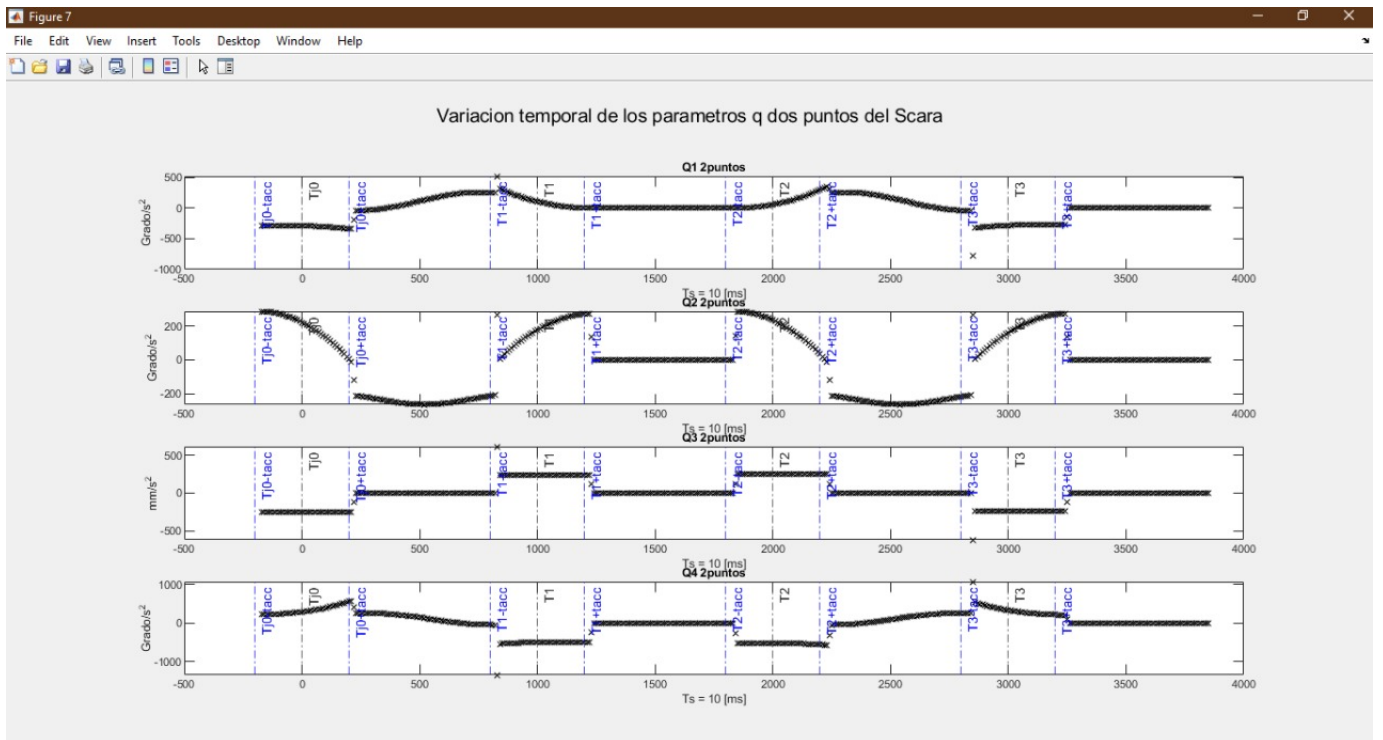


Figura 8: Parámetros  $\ddot{Q}$  para movimiento Cartesiano

Al ver los gráficos notamos que ya no se cumple la forma de señal sobre los parámetros  $\dot{q}$  obtenido en la trayectoria *joint*. Esto es esperable puesto que ahora se está realizando una interpolación sobre los parámetros cartesianos y no sobre los de *joint*.

Se grafica la trayectoria obtenida entre las poses.

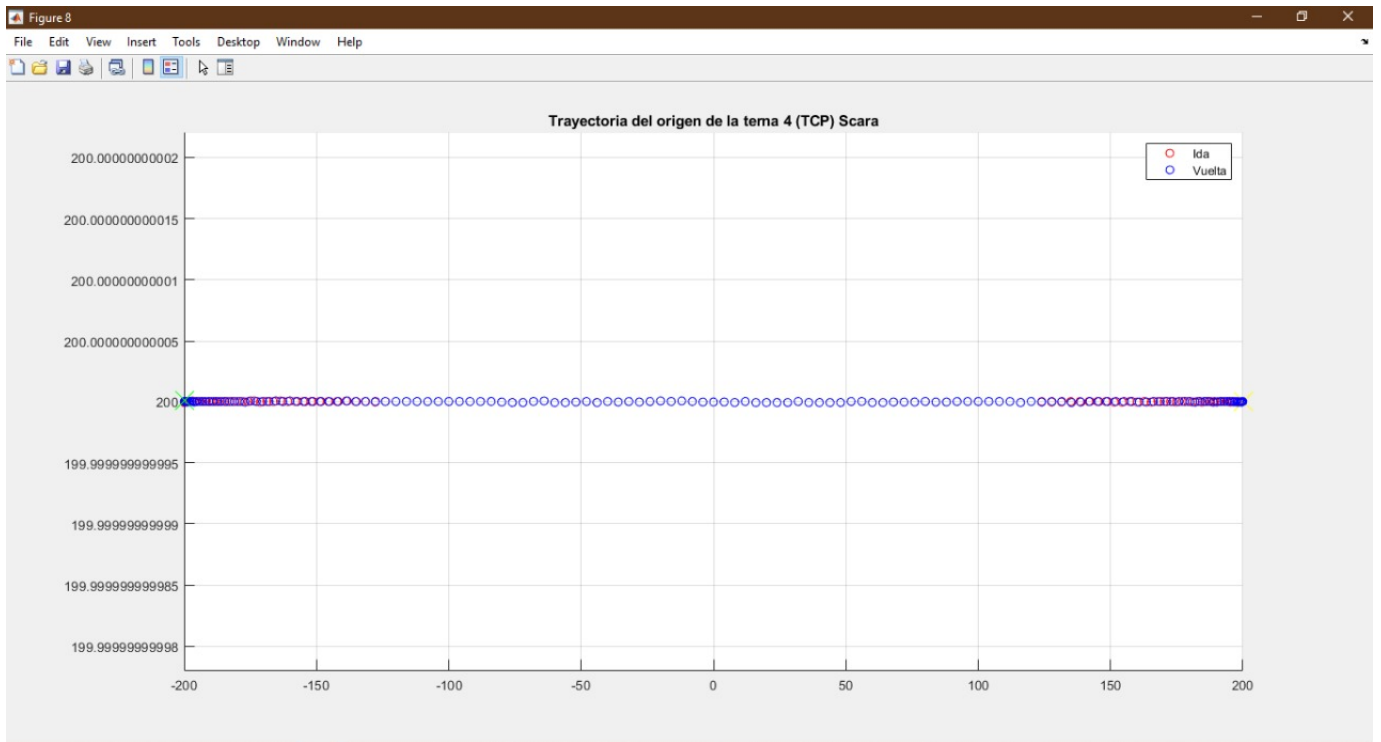


Figura 9: Trayectoria Cartesiana

## 2. Test

Los tres algoritmos presentados son ejecutado en distintas secciones del archivo *main.m*, adjunto a continuación.

```

1  %%En este codigo seran invocadas y probadas las funciones
2
3  clear all
4  close all
5  clc
6  %%%%%%%%%%%%%%%%%%%%%%%%%%%%%%%%%%%%%%%%%%%%%%%%%%%%%%%%%%%%%%%%%%%%%%%%%
7  %%%%%%%%%%%%%%%%%%%%%%%%%%%%%%%%%%%%%%%%%%%%%%%%%%%%%%%%%%%%%%%%%%%%%%%%% Trabajo Practico No.4 %%%%%%%%%
8  %%%%%%%%%%%%%%%%%%%%%%%%%%%%%%%%%%%%%%%%%%%%%%%%%%%%%%%%%%%%%%%%%%%%%%%%% Generacion de Trayectorias %%%%%%%%%
9  %%%%%%%%%%%%%%%%%%%%%%%%%%%%%%%%%%%%%%%%%%%%%%%%%%%%%%%%%%%%%%%%%%%%%%%%% 2020 %%%%%%%%%
10 %%%%%%%%%%%%%%%%%%%%%%%%%%%%%%%%%%%%%%%%%%%%%%%%%%%%%%%%%%%%%%%%%%%%%%%%%
11
12 %% Punto 1
13
14 % Test 1 : Funcionamiento de la funcion -> tp4_punto1.m
15 % Para testear rellenar q_ref_deg con los valores de q1,q2,q4 en rad y q3
16 % en mm.
17 % El test realizara el problema directo para obtener los parametros de
18 % x0,y0,z0 y obtendra Roll. Se espera que la funcion tp4_punto1 devuelva lo
19 % mismo que se introdujo en el vector q_ref_deg
20
21 % Directo
22 % q_ref_deg= [q1,q2,q3,q4] <- COMPLETAR CON LO QUE SE DESEE PROBAR
23
24 % q_ref_deg=[0,0,-50,0]
25 % q_ref_deg=[0,0,-50,-90]
26 q_ref_deg=[0,90,-50,-90]
27 q_ref_rad=[deg2rad(q_ref_deg(1)),deg2rad(q_ref_deg(2)),-50,deg2rad(q_ref_deg(4)) ]
28
29 % En caso de singularidad el sistema siempre opta por conf=1 (codo +)
30 [POSE,conf] = Direct_SCARA(q_ref_rad);
31
32 % Inverso
33 x0=POSE(1,4);
34 y0=POSE(2,4);
35 z0=POSE(3,4);
36 Roll = q_ref_deg(1)+ q_ref_deg(2) + q_ref_deg(4) ;
37

```

```

38 % Test del punto 1
39 q = tp4_punto1([x0,y0,z0,Roll],conf);
40
41 %%%%%%%%%%%%%%%%%%%%%%%%%%%%%%%%%%%%%%%%%%%%%%%%%%%%%%%%%%%%%%%%%%%%%%%%%
42 %%%%%%%%%%%%%%%%%%%%%%%%%%%%%%%%%%%%%%%%%%%%%%%%%%%%%%%%%%%%%%%%%%%%%%%%%
43
44 %% Punto2
45 clear all
46 close all
47 clc
48
49 POSE1 = [-200; 200;-100; 0; 1];
50 POSE2 = [200; 200;-200; 90; 1];
51
52 qa = tp4_punto1(POSE1(1:4),POSE1(5));
53 qb = tp4_punto1(POSE2(1:4),POSE2(5));
54
55 % Entiendo como que el robot tiene que tocar el punto por lo que duplico el
56 % valor de la posicion de los ejes de manera que "se detenga" en los puntos
57 Qd = [qa',qa',qb',qb',qa',qa'];
58 k = 0;
59 k = k + 1 ; qa = Qd(:,k);
60 k = k + 1 ; qb = Qd(:,k);
61 k = k + 1 ; qc = Qd(:,k);
62
63 Td = [1000 1000 1000 1000 1000];
64 a = 0;
65 a = a + 1 ; td = Td(a);
66
67 tacc = 200;
68
69 proccessAll = true;
70 sameSegment = true;
71 tseg = -tacc;
72 n = -tacc;
73
74 qOb      = [];
75 qdotOb   = [];
76 qddotOb  = [];
77 N = [];
78 TjObs = [];
79
80 Ts = 10; %ms
81
82 while(proccessAll)
83
84     [q,qdot,qddot,sameSegment,Tj]=tp4_punto2(tseg,qa,qb,qc,td,Ts,tacc);
85     tseg = tseg + Ts ;
86     n = n + Ts;
87
88     if sameSegment == false
89         k = k + 1 ;
90         %Cambio de segmento
91         if k > length(Qd)
92             %No tengo mas segmentos que analizar
93             proccessAll = false;
94         else
95             %Defino nuevo segmento
96             qa = q;
97             qb = qc;
98             qc = Qd(:,k);
99
100             a = a + 1;
101             td = Td(a);
102
103             tseg = -tacc + Ts;
104             TjObs = [TjObs, Tj];
105         end
106     end
107
108 % Ploteo en T real dentro del while para debug
109 % Solo se plotea la variacion angular con las referencias en el tiempo
110 % transcurrido. Desventaja: Plotear ralentiza la ejecucion del algoritmo
111
112 % figure(1)
113 % subplot(4,1,1)
114 % hold on
115 % scatter(n,rad2deg(qb(1)),'r. ');
116 % scatter(n,rad2deg(qc(1)),'b. ');
117 % scatter(n,rad2deg(q(1)),'kx')

```

```

118 %         ylabel('Grados')
119 %         xlabel('ms')
120 %         title('q1')
121 %
122 %         subplot(4,1,2)
123 %         hold on
124 %         plot(n,rad2deg(qb(2)),'-r');
125 %         plot(n,rad2deg(qc(2)),'-y');
126 %         plot(n,rad2deg(q(2)),'xk')
127 %         ylabel('Grados')
128 %         xlabel('ms')
129 %         title('q2')
130 %
131 %         subplot(4,1,3)
132 %         hold on
133 %         plot(n,qb(3),'xr');
134 %         plot(n,qc(3),'xy');
135 %         plot(n,q(3),'xk')
136 %         ylabel('mm')
137 %         xlabel('ms')
138 %         title('q3')
139 %
140 %         subplot(4,1,4)
141 %         hold on
142 %         plot(n,rad2deg(qb(4)),'xr');
143 %         plot(n,rad2deg(qc(4)),'xy');
144 %         plot(n,rad2deg(q(4)),'xk')
145 %         ylabel('Grados')
146 %         xlabel('ms')
147 %         title('q4')
148 %
149 % Almaceno la evolucion de las variables de manera de graficarlas
150 % todas juntas al finalizar el algoritmo. Sin embargo se pueden
151 % graficar en tiempo real descomentando la seccion anterior
152 %
153 qOb      = [qOb , q] ;
154 qdotOb   = [qdotOb , qdot] ;
155 qddotOb  = [qddotOb , qddot] ;
156 N =[N n];
157
158
159 end
160
161 % Graficos
162
163 figure(1)
164 set(gcf,'WindowState','maximized');
165 subplot(4,1,1)
166 plot(N,rad2deg(qOb(1,:)),'kx')
167 plotBorders(TjObs,tacc)
168 ylabel('Grados')
169 xlabel(['Ts = ',num2str(Ts),' [ms]'])
170 title('Q1')
171 subplot(4,1,2)
172 plot(N,rad2deg(qOb(2,:)),'kx')
173 plotBorders(TjObs,tacc)
174 ylabel('Grados')
175 xlabel(['Ts = ',num2str(Ts),' [ms]'])
176 title('Q2')
177 subplot(4,1,3)
178 plot(N,qOb(3,:),'kx')
179 plotBorders(TjObs,tacc)
180 ylabel('mm')
181 xlabel(['Ts = ',num2str(Ts),' [ms]'])
182 title('Q3')
183 subplot(4,1,4)
184 plot(N,rad2deg(qOb(4,:)),'kx')
185 plotBorders(TjObs,tacc)
186 ylabel('Grados')
187 xlabel(['Ts = ',num2str(Ts),' [ms]'])
188 title('Q4')
189 suptitle('Variacion temporal de los parametros q del Scara')
190
191 figure(2)
192 set(gcf,'WindowState','maximized');
193 subplot(4,1,1)
194 plot(N,rad2deg(qdotOb(1,:)*1000),'kx')
195 plotBorders(TjObs,tacc)
196 ylabel('Grados/s')
197 xlabel(['Ts = ',num2str(Ts),' [ms]'])

```

```

198     title('Q1 punto')
199 subplot(4,1,2)
200 plot(N,rad2deg(qdotOb(2,:)*1000),'kx')
201 plotBorders(TjObs,tacc)
202 ylabel('Grados/s')
203 xlabel(['Ts = ',num2str(Ts),' [ms]'])
204     title('Q2 punto')
205 subplot(4,1,3)
206 plot(N,qdotOb(3,:)*1000,'kx')
207 plotBorders(TjObs,tacc)
208 ylabel('mm/s')
209 xlabel(['Ts = ',num2str(Ts),' [ms]'])
210     title('Q3 punto')
211 subplot(4,1,4)
212 plot(N,rad2deg(qdotOb(4,:)*1000),'kx')
213 plotBorders(TjObs,tacc)
214 ylabel('Grado/s')
215 xlabel(['Ts = ',num2str(Ts),' [ms]'])
216     title('Q4 punto')
217 suptitle('Variacion temporal de los parametros q punto del Scara')
218
219
220 figure(3)
221 set(gcf,'WindowState','maximized');
222 subplot(4,1,1)
223 plot(N,rad2deg(qddotOb(1,:)*1000^2),'kx')
224 plotBorders(TjObs,tacc)
225 ylabel('Grado/s^2')
226 xlabel(['Ts = ',num2str(Ts),' [ms]'])
227     title('Q1 2puntos')
228 subplot(4,1,2)
229 plot(N,rad2deg(qddotOb(2,:)*1000^2),'kx')
230 plotBorders(TjObs,tacc)
231 ylabel('Grado/s^2')
232 xlabel(['Ts = ',num2str(Ts),' [ms]'])
233     title('Q2 2puntos')
234 subplot(4,1,3)
235 plot(N,qddotOb(3,:)*1000^2,'kx')
236 plotBorders(TjObs,tacc)
237 ylabel('mm/s^2')
238 xlabel(['Ts = ',num2str(Ts),' [ms]'])
239     title('Q3 2puntos')
240 subplot(4,1,4)
241 plot(N,rad2deg(qddotOb(4,:)*1000^2),'kx')
242 plotBorders(TjObs,tacc)
243 ylabel('Grado/s^2')
244 xlabel(['Ts = ',num2str(Ts),' [ms]'])
245     title('Q4 2puntos')
246 suptitle('Variacion temporal de los parametros q dos puntos del Scara')
247
248
249 figure(4)
250 set(gcf,'WindowState','maximized');
251 for k = 1:length(qOb)
252     q = qOb(:,k);
253     [A,conf]=Direct_SCARA(q);
254     px = A(1,4);
255     py = A(2,4);
256     hold on
257     if abs(px - 200) < 0.001 && abs(py - 200) < 0.001
258         plot(px,py,'yx','MarkerSize',20)
259     elseif abs(px - (-200)) < 0.001 && abs(py - 200) < 0.001
260         plot(px,py,'gx','MarkerSize',20)
261     else
262         if k < floor(length(qOb)/2)
263             p1=plot(px,py,'ro'); %Ida
264             else
265                 p2=plot(px,py,'bo'); %Vuelta
266             end
267         end
268     end
269     grid on
270     title('Trayectoria del origen de la terna 4 (TCP) Scara')
271     legend([p1,p2],{'Ida','Vuelta'})
272
273 %%%%%%%%%%%%%%%%%%%%%%%%%%%%%%%%%%%%%%%%%%%%%%%%%%%%%%%%%%%%%%%%%%%%%%%%%
274 %%%%%%%%%%%%%%%%%%%%%%%%%%%%%%%%%%%%%%%%%%%%%%%%%%%%%%%%%%%%%%%%%%%%%%%%%
275
276 %% Punto 3
277 clear all

```

```

278 %close all
279 clc
280
281
282 POSE1 = [-200; 200;-100; 0; 1];
283 POSE2 = [200; 200;-200; 90; 1];
284
285 qa = tp4_punto1(POSE1(1:4),POSE1(5));
286 qb = tp4_punto1(POSE2(1:4),POSE2(5));
287
288 Ja = getJacobianSCARA(qa,[200,200]);
289 Jb = getJacobianSCARA(qb,[200,200]);
290
291 vq1max = 90;
292 vq2max = 180;
293 vq3max = 1000;
294 vq4max = 360;
295 vmax = [vq1max,vq2max,vq3max,vq4max]';
296 vmaxrad = [deg2rad(vmax(1:2))',vq3max,deg2rad(vq4max)]';
297
298 maxA = Ja *vmaxrad;
299 maxB = Jb *vmaxrad;
300 maxCartesianV = abs(min(maxA,maxB));
301
302
303
304 [POSEA,conf] = Direct_SCARA(qa);
305 [POSEB,conf] = Direct_SCARA(qb);
306
307 Qd = {POSEA,POSEA,POSEB,POSEB,POSEA,POSEA};
308 k = 0;
309 k = k + 1 ;A = Qd{1};
310 k = k + 1 ;B = Qd{k};
311 k = k + 1 ;C = Qd{k};
312
313 Td = [1000 1000 1000 1000 1000];
314 a = 0;
315 a = a + 1 ;td = Td(a);
316
317 tacc = 200;
318
319 proccessAll = true;
320 sameSegment = true;
321 tseg = - tacc;
322 n = -tacc;
323
324 qOb      = [];
325 qdotOb   = [];
326 qddotOb  = [];
327 N = [];
328 TjObs = [];
329
330 Ts = 10; %ms
331
332 qant      = 10;
333 qdotant   = 100;
334
335 while(proccessAll)
336
337     [q,qdot,qddot,sameSegment,POSEActual,Tj]=tp4_punto3(tseg,A,B,C,td,Ts,tacc,qant,qdotant,
338         maxCartesianV);
339     tseg = tseg + Ts ;
340     n = n + Ts;
341
342     qant      = q;
343     qdotant   = qdot;
344
345     if sameSegment == false
346         k = k + 1 ;
347         %Cambio de segmento
348         if k > length(Qd)
349             %No tengo mas segmentos que analizar
350             proccessAll = false;
351         else
352             %Defino nuevo segmento
353             A = POSEActual;
354             B = C;
355             C = Qd{k};
356             a = a + 1;

```

```

357         td = Td(a);
358
359         tseg = -tacc + Ts;
360         TjObs = [TjObs, Tj];
361     end
362 end
363
364 % Ploteo en T real dentro del while para debug
365 % Solo se plotea la variacion angular con las referencias en el tiempo
366 % transcurrido. Desventaja: Plotear ralentiza la ejecucion del algoritmo
367
368 % figure(1)
369 % subplot(4,1,1)
370 % hold on
371 % scatter(n, rad2deg(qb(1)), 'r. ');
372 % scatter(n, rad2deg(qc(1)), 'b. ');
373 % scatter(n, rad2deg(q(1)), 'kx')
374 % ylabel('Grados')
375 % xlabel('ms')
376 % title('q1')
377 %
378 % subplot(4,1,2)
379 % hold on
380 % plot(n, rad2deg(qb(2)), '-r');
381 % plot(n, rad2deg(qc(2)), '-y');
382 % plot(n, rad2deg(q(2)), 'xk')
383 % ylabel('Grados')
384 % xlabel('ms')
385 % title('q2')
386 %
387 % subplot(4,1,3)
388 % hold on
389 % plot(n, qb(3), 'xr');
390 % plot(n, qc(3), 'xy');
391 % plot(n, q(3), 'xk')
392 % ylabel('mm')
393 % xlabel('ms')
394 % title('q3')
395 %
396 % subplot(4,1,4)
397 % hold on
398 % plot(n, rad2deg(qb(4)), 'xr');
399 % plot(n, rad2deg(qc(4)), 'xy');
400 % plot(n, rad2deg(q(4)), 'xk')
401 % ylabel('Grados')
402 % xlabel('ms')
403 % title('q4')
404
405 % Almaceno la evolucion de las variables de manera de graficarlas
406 % todas juntas al finalizar el algoritmo. Sin embargo se pueden
407 % graficar en tiempo real descomentando la seccion anterior
408
409 qOb = [qOb, q];
410 qdotOb = [qdotOb, qdot];
411 qddotOb = [qddotOb, qddot];
412 N = [N n];
413
414
415 end
416
417 % Graficos
418
419 figure(5)
420 set(gcf, 'WindowState', 'maximized');
421 subplot(4,1,1)
422 plot(N, rad2deg(qOb(1,:)), 'kx')
423 plotBorders(TjObs, tacc)
424 ylabel('Grados')
425 xlabel(['Ts = ', num2str(Ts), ' [ms]'])
426 title('Q1')
427 subplot(4,1,2)
428 plot(N, rad2deg(qOb(2,:)), 'kx')
429 plotBorders(TjObs, tacc)
430 ylabel('Grados')
431 xlabel(['Ts = ', num2str(Ts), ' [ms]'])
432 title('Q2')
433 subplot(4,1,3)
434 plot(N, qOb(3,:), 'kx')
435 plotBorders(TjObs, tacc)
436 ylabel('mm')

```



```

437     xlabel([ 'Ts = ', num2str(Ts), ' [ms] '])
438     title('Q3')
439 subplot(4,1,4)
440 plot(N, rad2deg(qOb(4,:)), 'kx')
441 plotBorders(TjObs, tacc)
442 ylabel('Grados')
443 xlabel([ 'Ts = ', num2str(Ts), ' [ms] '])
444 title('Q4')
445 supitle('Variacion temporal de los parametros q del Scara')
446
447 figure(6)
448 set(gcf, 'WindowState', 'maximized');
449 subplot(4,1,1)
450 plot(N(2:end), rad2deg(qdotOb(1,2:end)*1000), 'kx')
451 plotBorders(TjObs, tacc)
452 ylabel('Grados/s')
453 xlabel([ 'Ts = ', num2str(Ts), ' [ms] '])
454 title('Q1 punto')
455 subplot(4,1,2)
456 plot(N(2:end), rad2deg(qdotOb(2,2:end)*1000), 'kx')
457 plotBorders(TjObs, tacc)
458 ylabel('Grados/s')
459 xlabel([ 'Ts = ', num2str(Ts), ' [ms] '])
460 title('Q2 punto')
461 subplot(4,1,3)
462 plot(N(2:end), qdotOb(3,2:end)*1000, 'kx')
463 plotBorders(TjObs, tacc)
464 ylabel('mm/s')
465 xlabel([ 'Ts = ', num2str(Ts), ' [ms] '])
466 title('Q3 punto')
467 subplot(4,1,4)
468 plot(N(2:end), rad2deg(qdotOb(4,2:end)*1000), 'kx')
469 plotBorders(TjObs, tacc)
470 ylabel('Grado/s')
471 xlabel([ 'Ts = ', num2str(Ts), ' [ms] '])
472 title('Q4 punto')
473 supitle('Variacion temporal de los parametros q punto del Scara')
474
475
476 figure(7)
477 set(gcf, 'WindowState', 'maximized');
478 subplot(4,1,1)
479 plot(N(3:end), rad2deg(qddotOb(1,3:end)*1000^2), 'kx')
480 plotBorders(TjObs, tacc)
481 ylabel('Grado/s^2')
482 xlabel([ 'Ts = ', num2str(Ts), ' [ms] '])
483 title('Q1 2puntos')
484 subplot(4,1,2)
485 plot(N(3:end), rad2deg(qddotOb(2,3:end)*1000^2), 'kx')
486 plotBorders(TjObs, tacc)
487 ylabel('Grado/s^2')
488 xlabel([ 'Ts = ', num2str(Ts), ' [ms] '])
489 title('Q2 2puntos')
490 subplot(4,1,3)
491 plot(N(3:end), qddotOb(3,3:end)*1000^2, 'kx')
492 plotBorders(TjObs, tacc)
493 ylabel('mm/s^2')
494 xlabel([ 'Ts = ', num2str(Ts), ' [ms] '])
495 title('Q3 2puntos')
496 subplot(4,1,4)
497 plot(N(3:end), rad2deg(qddotOb(4,3:end)*1000^2), 'kx')
498 plotBorders(TjObs, tacc)
499 ylabel('Grado/s^2')
500 xlabel([ 'Ts = ', num2str(Ts), ' [ms] '])
501 title('Q4 2puntos')
502 supitle('Variacion temporal de los parametros q dos puntos del Scara')
503
504
505 figure(8)
506 set(gcf, 'WindowState', 'maximized');
507 for k = 1:length(qOb)
508     q = qOb(:,k);
509     [A, conf]=Direct_SCARA(q);
510     px = A(1,4);
511     py = A(2,4);
512     hold on
513     if abs(px - 200) < 0.0001 && abs(py - 200) < 0.0001
514         plot(px, py, 'yx', 'MarkerSize', 20)
515     elseif abs(px - (-200)) < 0.0001 && abs(py - 200) < 0.0001
516         plot(px, py, 'gx', 'MarkerSize', 20)

```

```

517     else
518         if k < floor(length(qOb)/2)
519             p1=plot(px,py,'ro'); %Ida
520         else
521             p2=plot(px,py,'bo'); %Vuelta
522         end
523     end
524 end
525 grid on
526 title('Trayectoria del origen de la terna 4 (TCP) Scara')
527 legend([p1,p2],{'Ida','Vuelta'})
528
529 %% Funciones Auxiliares para ploteo
530 function plotBorders(TjObs,tacc)
531     hold on
532     xline(-tacc,'b-.','Tj0-tacc','DisplayName','Tj1');
533     xline(0,'-.','Tj0','DisplayName','Tj1');
534     xline(tacc,'b-.','Tj0+tacc','DisplayName','Tj1');
535     sum =0;
536     for k=1:length(TjObs)
537         sum = TjObs(k)+ sum;
538         xline(sum-tacc,'b-.',[ 'T',num2str(k),'-tacc'],'DisplayName','Tj1');
539         xline(sum,'-.',[ 'T',num2str(k)], 'DisplayName','Tj1');
540         xline(sum+tacc,'b-.',[ 'T',num2str(k),'+tacc'],'DisplayName','Tj1');
541     end
542 end
543
544 end

```

### 3. Conclusiones

Como conclusiones se observa que ambos algoritmos generan trayectorias suaves permitiendo que el robot realice tanto movimientos tipo Joint como Cartesianos de forma adecuada.

La interpolación Joint tiene la ventaja que permite controlar las variables articulares (posición, velocidad y aceleración angular), siendo estas las mas relacionadas a la maquinaria y a los motores. Por lo que utilizar movimientos tipo joint permitiría, en una primera instancia, cuidar la vida útil del robot. La desventaja yase en que en la realidad no siempre se requieren movimientos de tipo joint.

La interpolación Cartesiana resuelve el problema de los movimiento lineales, permitiendo independizarse de los motores y hacer actividades que requieran movimientos lineales, por ej., pintar, apilar, entre otras. Sin embargo, no se tiene tanto control sobre las velocidades de los motores ni las aceleraciones. Puede observarse en las velocidades angulares existe dos zonas en donde la velocidad supera el máximo permitido, gastando la vida útil de los motores.

En el algoritmo propuesto se obtiene las velocidades máximas cartesianas en las poses de inicio y de destino, pero eso no garantiza que en alguna pose intermedia las velocidades máximas sean superiores, por lo que en una primera instancia seria necesario aplicar el jacobiano para cada punto de la trayectoria para obtener el  $T_j$  previo a la ejecución del algoritmo de interpolación cartesiano

### 4. Anexo

# Trabajo Práctico No.4

## Generación de Trayectorias

2020

### 1. Problema Cinemático Inverso

Sea el robot de la figura 1 con arquitectura *SCARA* (ejercicio 3 de la tira 1) y parámetros cinemáticos:

$$a_1 = 200\text{mm}$$

$$a_2 = 200\text{mm}$$

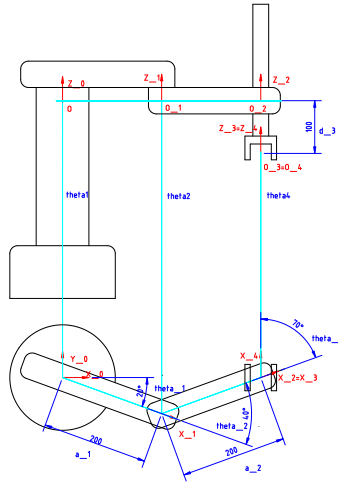


Figura 1: Robot R-R-P-R

Escribir una función en octave/matlab que calcule las variables *joint*  $\mathbf{q}$  a partir de una POSE ingresada como parámetro según las siguientes definiciones:

$$\mathbf{q} = [\theta_1, \theta_2, d_3, \theta_4]^T$$
$$\text{POSE}^0 = [x_0, y_0, z_0, \text{Roll}, \text{conf}]^T$$

donde la posición se expresa en mm y la orientación Roll de la herramienta en grados.

Considerar que el robot cuenta con topes mecánicos en los ejes 2 y 3 que imponen las siguientes restricciones en las variables *joint*:

$$\begin{aligned} -150^\circ &\leq q_2 \leq 150^\circ \\ -250\text{mm} &\leq q_3 \leq -50\text{mm} \end{aligned}$$

## 2. Generador de Trayectorias Joint

Para el robot de la sección 1 escribir un programa en octave/matlab que genere el movimiento *joint* entre posiciones objetivo.

El tiempo de aceleración y las velocidades máximas de los ejes son:

$$\begin{aligned} t_{acc} &= 200\text{ms} \\ v_{1max} &= 90^\circ/\text{s} \\ v_{2max} &= 180^\circ/\text{s} \\ v_{3max} &= 1000\text{mm}/\text{s} \\ v_{4max} &= 360^\circ/\text{s} \end{aligned}$$

Tener en cuenta las siguientes consideraciones:

1. Las entradas al programa deben ser las POSEs por las que debe pasar la herramienta y el tiempo deseado de cada movimiento.
2. Las salidas del programa deben ser:
  - gráficas de la evolución en el tiempo de las posiciones *joint*, sus velocidades y aceleraciones
  - un gráfico de la trayectoria del origen de la terna 4 (TCP) proyectada en el plano  $[\mathbf{X}_0, \mathbf{Y}_0]$
3. Pensar el algoritmo para que pueda funcionar en un sistema de tiempo real.

Como ejemplo del programa desarrollado, imprimir las salidas para el movimiento realizado a máxima velocidad donde el robot parte de reposo desde POSE<sub>1</sub> pasa por POSE<sub>2</sub> y regresa a POSE<sub>1</sub> deteniéndose. Las POSEs están expresadas en la terna 0 y definen a continuación:

$$\begin{aligned} \text{POSE}_1 &= [-200, 200, -100, 0, 1]^T \\ \text{POSE}_2 &= [200, 200, -200, 90, 1]^T \end{aligned}$$

## 3. Generador de Trayectorias Cartesiano

Implementar un generador de trayectorias cartesiano de manera de repetir el punto anterior con un movimiento en línea recta. Mostrar en un gráfico la evolución temporal de las variables articulares, sus velocidades y aceleraciones. Graficar también la trayectoria vista desde la terna 0.

Mostrar en forma comparada los gráficos de evolución temporal y de trayectoria del movimiento *joint* y del cartesiano.